

広島大学工学部 正員 佐藤 誠

1. はじめに

本研究は平面入射波が各種孔群、スリット、異種物質等の不連続部分を有する平板内を伝播する場合の波動挙動に関するものである。この種の研究については J. Miklowitz¹⁾ が平面、球面入射波に対する単一円孔の孔周辺の動的挙動を、また C. Sve²⁾ が十分小さな空隙が一様に分布した物質中の波動伝播特性を明らかにしている。ここでは平面入射波が平板内に設けられた円孔列あるいは円孔群を通過する際に群孔配置等に対して受ける効果を明らかにすることを主目的として実験的研究を行なった。

2. 実験方法と模型

平板に対する平面入射波を得るため、図-1に示すように、ポンプ銃弾衝撃により supersonic wave を発生させる走行荷重法を用いた。高速物質には黄銅の角棒 ($C_L \approx 3,200 \text{ m/sec}$) を、低速物質にはエボキシ樹脂板 ($C_L \approx 2,100 \text{ m/sec}$) を用いた。この場合板内には横波と縦波が同時に発生するが、横波成分の振幅が大きいことから動光弹性実験結果から得た横波波面(黄銅棒に対して 18.5°)に平行に群孔列を設けた。図中の破線は群孔の一列の先端の位置を示す。円孔の直径は主として 10 mm とした。

円孔を配置する際のパラメータは、一列の円孔列については円孔直径を D 、孔縫間隔を d とするとき、 $d/(D+d)$ を通過面積率 f とし、その Type を $D-d$ として示す。多重列の場合は円孔中心を正方格子 (P)、千鳥格子 (T)、孔縫間隔、列数を順に並べて配置記号とし、群孔領域面積 A と空間部分の面積 B との比を空隙率 P ($P = B/A$) とした。

3. 実験結果と考察

測定は動光弹性測定と、図-1に示した測点について直角ロゼットゲージ (2 mm) による動ひずみ測定を行なった。ここには後者の結果を主ひずみ値について示す。図-1の測点 B_1, B_2 の測定結果から板内には

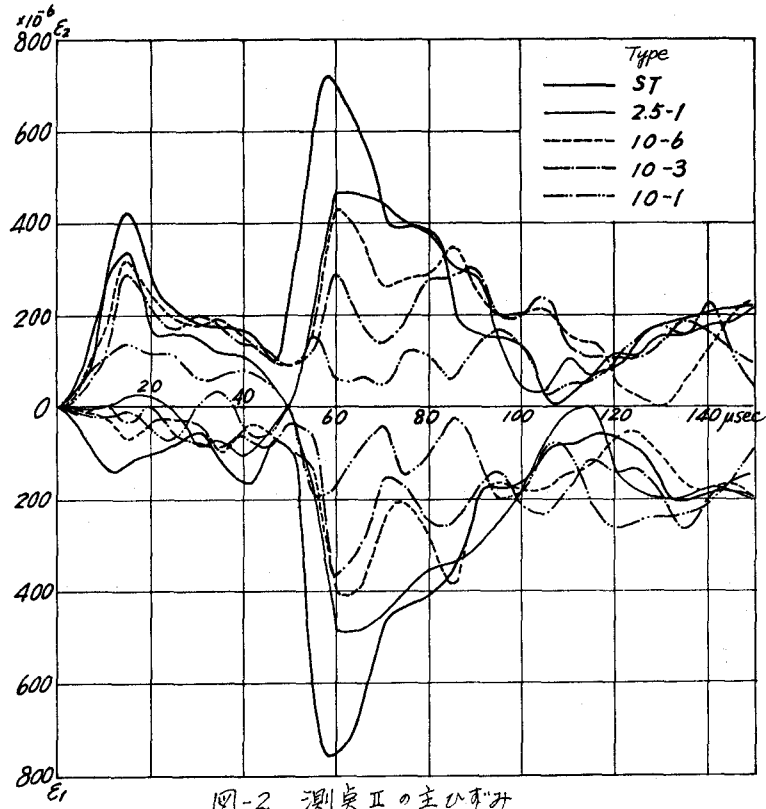
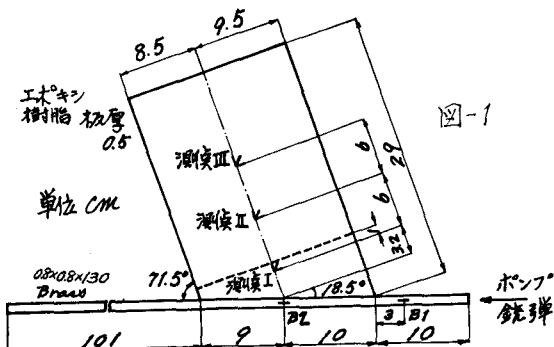


図-2 測点IIの主ひずみ

継続時間約50μsecのパルスが入射する。図-2は測点IIの無孔板(ST)ヒー列の各子の主ひずみを示す。最初の約50μsecまでが縦波部分であり、続いて約100μsecまでが横波部分である。縦波のピークと横波のピークの間隔は約45μsecでどの場合も一致している。図-3は同じ場合の測点IIIについて示したものである。測点IIに比較してエポキシ樹脂の内部摩擦により減衰している。縦波と横波のピークの間隔は約75μsecで各f_iに対してほぼ同じである。両者ともに子が減少するに従って特に横波の波形が激しく乱れる。

図-4は孔列4, 5の場合のT, Pの場合について測点IIIの結果を示す。一列の場合に比較して縦波の波形はほぼ保たれているが横波の致達する90μsec付近にもほとんど波形が現われていない。P-6-5にはその時刻にわずかに横波らしい波形がみられる。またT-6-5では90μsec以後150μsecまでにピークは明らかでないが純せん断状態が現わされて

いる。以上の結果から群孔通過後には波形が著しく変形するため、通過前後の波動の比較は多数の要因を考慮しなければならないが、オーノの目安として各波のピークの比較を行なう。表-1に無孔板および測点IIのピークの値を基準として縦波のE_{2max}と横波のθ_{max}の比により通過率(α)を示す。P, Tに対してはfの欄に空隙率Pを示した。この表より子の減少に従つてαは減少するが、縦波の方が横波よりαは大きい。また測点IIより測点IIIのαが大きいが測点IIではパルスの立ち上りが鋭く、減衰が大きいためと考えられる。これは4, 5列についてよく現われている。また列数の増加に伴ない横波は強く影響を受けることが明らかである。

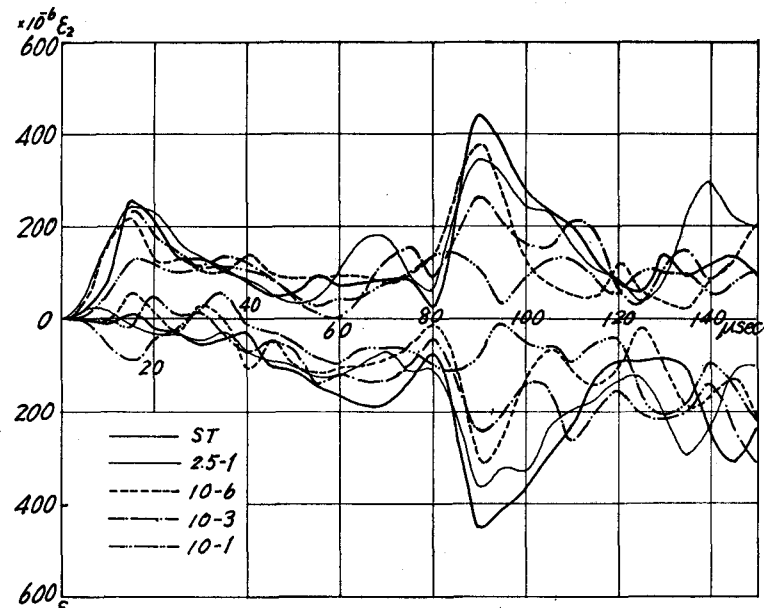


図-3 測点IIIの主ひずみ

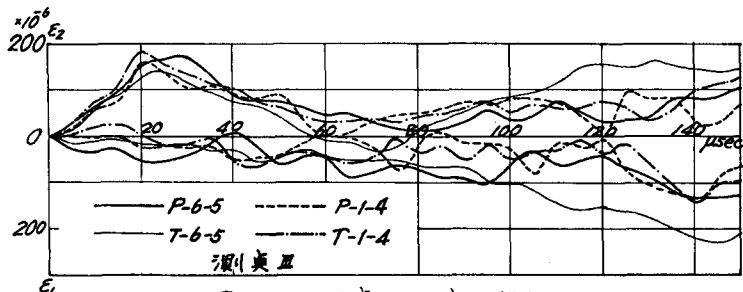


図-4 測点IIIの主ひずみ

Type	通過面積率f	測点II			測点III		
		E _{2max} E _{2ST}	θ _{max} θ _{ST}	E _{2max} E _{2ST}	E _{2max} E _{2max}	θ _{max} θ _{ST}	θ _{max} θ _{max}
ST	1.00	1.00	1.00	1.00	0.60	1.00	0.62
10-6	0.375	0.77	0.57	0.88	0.69	0.77	0.84
2.5-1	0.286	0.80	0.65	0.96	0.73	0.77	0.73
10-3	0.231	0.69	0.44	0.92	0.81	0.56	0.78
10-1	0.091	0.33	0.23	0.52	0.96	0.28	0.74
P-1-4	0.65*)	0.31		0.64			
T-1-4	0.65*)	0.39	0.12	0.72		0.11	
P-6-5	0.31*)			0.70		0.18	
T-6-5	0.31*)			0.56		0.19	

表-1 主ひずみピークの通過率α

1)たとえば F.Norwood, J.Miklowitz, "Diffraction of transient Elastic Wave by a Spherical Cavity," J. Appl. Mech. 1967, pp.735~744
2) C.Sue, "Elastic Wave Propagation in a Porous Laminated Composite," Int. J. Solids Structure, Vol.9, 1973, pp.937~950